

13  
**Расчет триодной полевой эмиссионной системы с модулятором**

© Е.М. Виноградова, Н.В. Егоров, Д.С. Телевный

Санкт-Петербургский государственный университет,  
 Факультет прикладной математики — процессов управления,  
 198504 Санкт-Петербург, Россия  
 e-mail: vincat2008@yandex.ru, robb7@mail.ru

(Поступило в Редакцию 25 апреля 2013 г.)

Данная работа посвящена вычислению распределения электростатического потенциала триодной эмиссионной системы с модулятором в виде круговой диафрагмы. Эмиттер представляет собой острый полевой катод. Внутренняя область рассматриваемой системы заполнена двумя диэлектриками. При нахождении распределения потенциала реальный полевой катод заменяется виртуальным, поверхность которого совпадает с определенной эквипотенциальной поверхностью, таким образом влияние катода на распределение электростатического потенциала заменяется влиянием конечной заряженной нити, расположенной на оси системы. Для решения задачи используется метод разделения переменных. Потенциал представляется в виде разложения по собственным функциям, определение коэффициентов разложения сведено к решению системы линейных алгебраических уравнений.

**Введение**

Вакуумные электронные устройства на основе полевой электронной эмиссии применяются во многих направлениях научных исследований, в разработке новых высокоточных приборов, в технологии производства экономически выгодных устройств микро- и нанoeлектроники. Основными характеристиками таких устройств являются их малые геометрические размеры, монохроматические пучки, потребление небольшой мощности для эффективной работы [1]. Полевые эмиссионные устройства используются в электронных микроскопах, системах диагностики поверхности, светоизлучающих приборах, в том числе световых индикаторах, лампах и плоских дисплеях. Известно, что источником электронов может быть полевой катод из различных углеродных материалов. Высокая плотность тока при небольшом значении потенциала в системе обеспечивается за счет малого радиуса кривизны острия и не нуждается в дополнительной затрате энергии на нагрев эмиттера [2–6].

Простейшей электронно-оптической системой на основе полевого электронного катода, позволяющей получить эмиссионный ток, является двухэлектродная система [7–9]. Однако вследствие необходимости устранения недостатков в работе полевых эмиттеров большинство электровакуумных приборов имеют более сложную структуру. В силу особенности явления полевой эмиссии, при которой поле, вызывающее эмиссию, является одновременно и управляющим, и фокусирующим, требуется учет влияния всех электродов исследуемой системы. Триодные системы по сравнению с диодными позволяют учитывать влияние дополнительного электрода (модулятор, затвор) [10]. Модулятор обеспечивает быстрое управление эффективностью эмиссии. Данный электрод позволяет менять поле вблизи вершины эмиттера в значительных пределах при небольшом значении потенциала, что способствует снижению рабочего напряжения во всей системе. Кроме того, так как в

реальных электронно-вакуумных приборах всегда присутствуют элементы, изготовленные из диэлектриков, например в качестве крепежных элементов, то для приборов на основе полевых эмиттеров для расчета электростатического потенциала следует учитывать влияние диэлектриков, входящих в рассматриваемую модель.

Целью настоящей работы является расчет триодной полевой эмиссионной системы с модулятором, внутренняя область которой заполнена двумя диэлектриками.

**Постановка задачи**

Рассмотрим триодную систему на основе осесимметричного одиночного полевого острия на плоской металлической подложке, анод представляет собой плоскость, параллельную плоскости подложки, модулятор — круговую диафрагму. Схематическое изображение триодной системы с учетом аксиальной симметрии представлено на рис. 1: 1 — подложка, 2 — полевой катод, 3 — анод, 4 — модулятор, 5 — диэлектрическая оболочка.

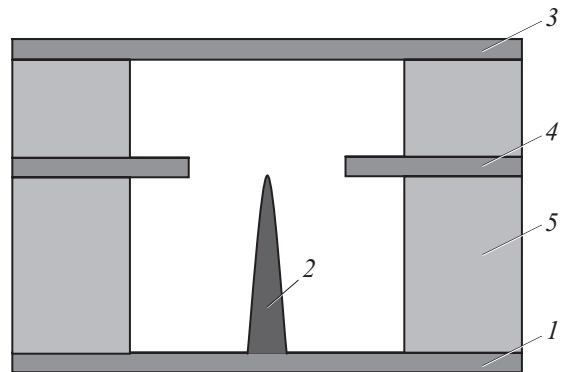


Рис. 1.

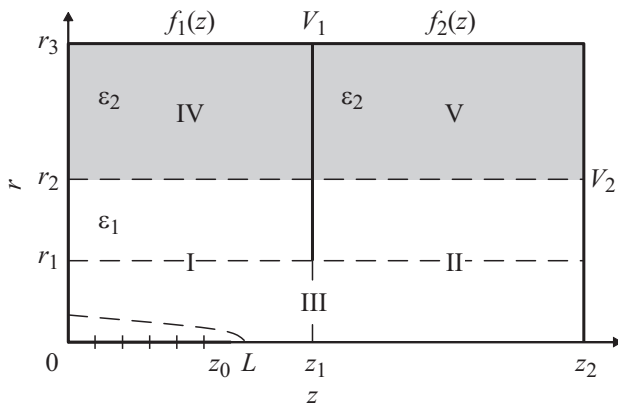


Рис. 2.

Требуется найти распределения электростатического потенциала во всей области данной эмиссионной системы. Данная задача будет решаться в цилиндрической системе координат  $(r, z)$ . Внутренняя область системы заполнена двумя различными диэлектриками с диэлектрическими проницаемостями  $\epsilon_1$  и  $\epsilon_2$ . Катод имеет нулевой потенциал, на модуляторе задан потенциал  $V_1$ , на аноде — потенциал  $V_2$ . Заменим влияние полевого катода влиянием конечной заряженной нити длиной  $z_0$  с линейной плотностью зарядов  $\tau(z)$ , расположенной на оси системы таким образом, чтобы поверхность реального полевого катода совпала с нулевой эквипотенциальной поверхностью — виртуальным катодом. Сечение системы с учетом аксиальной симметрии представлено на рис. 2.

Параметры задачи:  $z = 0$  — поверхность подложки острия,  $z = z_0$  — длина заряженной нити,  $z = L$  — длина острия,  $(r = r_1, z = z_1)$  — координаты круговой диафрагмы (модулятора),  $z = z_2$  — поверхность анода,  $r = r_2$  — граница раздела двух диэлектриков,  $r = r_3$  — радиус области по переменной  $r$ ,  $U(r, 0) = 0$  — граничные условия на подложке острия,  $U(r, z_1) = V_1, r \geq r_1$  — граничные условия на модуляторе,  $U(r, z_2) = V_2$  — граничные условия на аноде,  $U(r_3, z) = f_1(z)$  — граничные условия на поверхности  $r = r_3$  ( $0 \leq z \leq z_1$ ),  $U(r_3, z) = f_2(z)$  — граничные условия на поверхности  $r = r_3$  ( $z_1 \leq z \leq z_2$ ),  $\tau(z) = Az$  — плотность зарядов нити (линейная функция),  $A$  — угол наклона линейной плотности зарядов нити.

### Математическая модель

Функция распределения электростатического потенциала удовлетворяет уравнению Пуассона с граничными условиями

$$\begin{aligned} \Delta U(r, z) &= -\frac{\rho(r, z)}{\epsilon_0}, \\ U(r, 0) &= 0, \quad 0 \leq r \leq r_3, \\ U(r, z_1) &= V_1, \quad r_1 \leq r \leq r_3, \end{aligned}$$

$$\begin{aligned} U(r, z_2) &= V_2, \quad 0 \leq r \leq r_3, \\ U(r_3, z) &= f_1(z), \quad 0 \leq z \leq z_1, \\ U(r_3, z) &= f_2(z), \quad z_1 \leq z \leq z_2, \\ f_1(z) &= V_1 \frac{z}{z_1}, \quad f_2(z) = \frac{V_2 - V_1}{z_2 - z_1}(z - z_1) + V_1. \end{aligned} \quad (1)$$

Представим функцию линейной плотности зарядов нити  $\tau(z)$  в виде кусочно-линейной

$$\tau_s = A\xi_{s-1}, \quad \xi_{s-1} \leq z \leq \xi_s, \quad s = \overline{1, N}, \quad (2)$$

где  $\xi_0 = 0, \xi_N = z_0$ .

Положим, что на каждом отрезке  $\xi_{s-1} \leq z \leq \xi_s$  заряд, создаваемый соответствующим отрезком нити, равномерно распределен в цилиндрическом объеме бесконечно малого радиуса  $r = \delta_s$  зарядами постоянной объемной плотности  $\rho_s$  так, что [11]

$$\rho_s(r, z) = \frac{\tau_s}{\pi\delta_s^2}. \quad (3)$$

В этом случае функция  $\rho(r, z)$  в правой части уравнения Пуассона для граничной задачи (1) задается следующим образом:

$$\rho(r, z) = \begin{cases} \rho_s, & r < \delta_s, \quad \xi_s \leq z \leq \xi_{s+1}, \\ 0, & r > \delta_s, \quad \text{или } z \geq \xi_N. \end{cases}$$

### Решение задачи

Решение граничной задачи (1) можно представить как сумму решения уравнения Лапласа с неоднородными граничными условиями без учета заряженной нити и решения уравнения Пуассона с однородными граничными условиями с учетом влияния заряженной нити.

Рассмотрим дополнительную задачу о распределении электростатического потенциала  $\hat{U}(r, z, a, b)$ , создаваемой заряженной нитью длины  $z_0$  с линейной плотностью зарядов  $\tau(z)$  в замкнутой цилиндрической области, ограниченной поверхностями  $r = a, z = 0, z = b$ , с однородными граничными условиями:

$$\begin{aligned} \Delta \hat{U}(r, z, a, b) &= -\frac{\rho(r, z)}{\epsilon_0}, \\ \hat{U}(r, 0, a, b) &= 0, \quad 0 \leq r \leq a, \\ \hat{U}(r, b, a, b) &= 0, \quad 0 \leq r \leq a, \\ \hat{U}(a, z, a, b) &= 0, \quad 0 \leq z \leq b, \end{aligned} \quad (5)$$

где функция  $\rho(r, z)$  определяется по формулам (2)–(4).

Представим решение граничной задачи (5) в виде

$$\hat{U}(r, z, a, b) = \sum_{n=1}^{\infty} v_n(z) J_0(\omega_n r), \quad (6)$$

$$\omega_n = \frac{\gamma_n}{a}, \quad (7)$$

где  $v_n(z)$  — неизвестные функции,  $\gamma_n$  — корни функции Бесселя первого рода нулевого порядка

$$J_0(\gamma_n) = 0. \tag{8}$$

Функция  $\hat{U}(r, z, a, b)$  удовлетворяет третьему из граничных условий задачи (5).

После подстановки (6), (7) в уравнение Пуассона (5) каждая из функций  $v_n(z)$  является решением следующего дифференциального уравнения [12]:

$$v_n''(z) - (\omega_n)^2 v_n(z) = \varphi(z), \tag{9}$$

$$\varphi(z) = -\frac{2}{\varepsilon_0 a^2 J_1^2(\gamma_n)} \int_0^a r \rho(r, z) J_0(\omega_n r) dr. \tag{10}$$

Используя метод вариации постоянных и два последних однородных граничных условия задачи (5), решение уравнения (9), (10) можно представить в виде

$$v_n(z) = \begin{cases} \frac{\text{sh}(\omega_n(b-z))}{\omega_n \text{sh}(\omega_n b)} \int_0^z \text{sh}(\omega_n \eta) \varphi(\eta) d\eta - \\ - \frac{\text{sh}(\omega_n z)}{\omega_n \text{sh}(\omega_n b)} \int_0^{z_0} \text{sh}(\omega_n(b-\eta)) \varphi(\eta) d\eta, & z \leq z_0, \\ - \frac{\text{sh}(\omega_n(b-z))}{\omega_n \text{sh}(\omega_n b)} \int_0^{z_0} \text{sh}(\omega_n \eta) \varphi(\eta) d\eta, & z > z_0. \end{cases} \tag{11}$$

Из (2)–(4), (6)–(8), (10), (11) решение граничной задачи (5) имеет вид

$$\hat{U}(r, z, a, b) = AF(r, z, a, b), \quad a \leq z \leq b, \tag{12}$$

где

$$F(r, z, a, b) = \sum_{k=1}^{\infty} \frac{1}{\pi \varepsilon_0 \gamma_k^2 J_1^2(\gamma_k)} \frac{1}{\text{sh}(\omega_k b)} \times \left[ 2 \text{sh}(\omega_k(b-z)) \sum_{s=1}^{m-1} \xi_{s-1} (\text{sh}(\omega_k(\xi_s + \xi_{s-1})/2) \times \text{sh}(\omega_k(\xi_s - \xi_{s-1})/2)) - \xi_{m-1} (\text{sh}(\omega_k(b-z)) \times \text{ch}(\omega_k \xi_{m-1}) + \text{sh}(\omega_k z) \text{ch}(\omega_k(b - \xi_m)) - \text{sh}(\omega_k b)) \right. \\ \left. + 2 \text{sh}(\omega_k z) \sum_{s=m+1}^N \xi_{s-1} (\text{sh}(\omega_k(b - (\xi_s + \xi_{s-1})/2)) \times \text{sh}(\omega_k(\xi_s - \xi_{s-1})/2)) \right] J_0(\omega_k r), \quad a \leq z \leq z_0, \tag{13}$$

$$F(r, z, a, b) = \sum_{k=1}^{\infty} \frac{1}{\pi \varepsilon_0 \gamma_k^2 J_1^2(\gamma_k)} \frac{\text{sh}(\omega_k(b-z))}{\text{sh}(\omega_k b)} \times \left[ 2 \sum_{s=1}^N \xi_{s-1} (\text{sh}(\omega_k(\xi_s + \xi_{s-1})/2) \text{sh}(\omega_k(\xi_s - \xi_{s-1})/2)) \right. \\ \left. \times J_0(\omega_k r), \quad z_0 < z \leq b. \right.$$

Для решения граничной задачи (1) разобьем всю внутреннюю область триодной системы на 5 подобластей, часть из которых перекрывают друг друга:

- 1 —  $(0 \leq r \leq r_2, 0 \leq z \leq z_1)$ ,
- 2 —  $(0 \leq r \leq r_2, z_1 \leq z \leq z_2)$ ,
- 3 —  $(0 \leq r \leq r_1, 0 \leq z \leq z_2)$ ,
- 4 —  $(r_2 \leq r \leq r_3, 0 \leq z \leq z_1)$ ,
- 5 —  $(r_2 \leq r \leq r_3, z_1 \leq z \leq z_2)$ .

Положим

$$\alpha_k = \gamma_k / r_2,$$

$$\lambda_k = \pi k / z_1,$$

$$\mu_k = \pi k / (z_2 - z_1),$$

$$v_k = \pi k / z_2, \quad k = \overline{1, \infty};$$

$$\overline{W}_0(\beta, x, y) = I_0(\beta x) K_0(\beta y) - K_0(\beta x) I_0(\beta y),$$

$$\overline{W}_1(\beta, x, y) = I_1(\beta x) K_0(\beta y) + K_1(\beta x) I_0(\beta y),$$

$$G(\beta, x, y) = \frac{I_1(\beta x)}{I_0(\beta x)} - \frac{\varepsilon_2 \overline{W}_1(\beta, x, y)}{\varepsilon_1 \overline{W}_0(\beta, x, y)}, \tag{14}$$

где  $\gamma_k$  определяются из (8),  $I_n(\beta x)$ ,  $K_n(\beta y)$  ( $n = 0, 1$ ) — модифицированные функции Бесселя первого и второго рода соответственно.

Распределение потенциала  $U(r, z) = U_i(r, z)$ , ( $i = \overline{1, 5}$ ) для каждой из подобластей представим в виде рядов Фурье–Бесселя:

в первой области

$$U_1(r, z) = \sum_{k=1}^{\infty} a_k \frac{\text{sh}(\alpha_k z)}{\text{sh}(\alpha_k z_1)} J_0(\alpha_k r) + \sum_{n=1}^{\infty} b_n \frac{I_0(\lambda_n r)}{I_0(\lambda_n r_2)} \sin(\lambda_n z) + \hat{U}(r, z, r_2, z_1) + V_1 \frac{z}{z_1}, \tag{15}$$

во второй области

$$U_2(r, z) = \sum_{k=1}^{\infty} a_k \frac{\text{sh}(\alpha_k(z_2 - z))}{\text{sh}(\alpha_k(z_2 - z_1))} J_0(\alpha_k r) + \sum_{n=1}^{\infty} c_n \frac{I_0(\mu_n r)}{I_0(\mu_n r_2)} \sin(\mu_n(z_2 - z)) + (V_2 - V_1) \frac{z - z_1}{z_2 - z_1} + V_1, \tag{16}$$

в третьей области

$$U_3(r, z) = \sum_{n=1}^{\infty} d_n \frac{I_0(v_n r)}{I_0(v_n r_1)} \sin(v_n z) + \hat{U}(r, z, r_1, z_2) + V_2 \frac{z}{z_2}, \tag{17}$$

в четвертой области

$$U_4(r, z) = \sum_{n=1}^{\infty} b_n \frac{\overline{W}(\lambda_n, r, r_3)}{\overline{W}(\lambda_n, r_2, r_3)} \sin(\lambda_n z) + V_1 \frac{z}{z_1}, \tag{18}$$

в пятой области

$$U_5(r, z) = \sum_{n=1}^{\infty} c_n \frac{\overline{W}(\mu_n, r, r_3)}{\overline{W}(\mu_n, r_2, r_3)} \sin(\mu_n(z_2 - z)) + (V_2 - V_1) \frac{z - z_1}{z_2 - z_1} + V_1. \tag{19}$$

Представление функции распределения потенциала в виде (12)–(19) удовлетворяет уравнению Пуассона во всей области рассматриваемой системы, заданным граничным условиям на поверхностях  $z = 0$  ( $0 \leq r \leq r_3$ ),  $z = z_1$  ( $r_2 \leq r \leq r_3$ ),  $z = z_2$  ( $0 \leq r \leq r_3$ ),  $r = r_2$  ( $0 \leq z \leq z_2$ ) и условию непрерывности потенциала на границах раздела областей 1–2, 1–4, 2–5.

Неизвестные коэффициенты, входящие в разложения (15)–(19), вычисляются из условий перекрытия областей 1–3, 2–3, так как точки внешней границы области 3 при  $r = r_1$  ( $0 \leq z \leq z_2$ ) являются внутренними точками областей 1 ( $0 \leq z \leq z_1$ ) и 2 ( $z_1 \leq z \leq z_2$ ) соответственно, а также из условия непрерывности нормальной составляющей вектора электрического смещения на границе раздела диэлектриков  $r = r_2$ :

$$U_3(r_1, z) = \begin{cases} U_1(r_1, z), & 0 \leq z \leq z_1, \\ U_2(r_1, z), & z_1 \leq z \leq z_2, \end{cases} \tag{20}$$

$$U_1(r, z_1) = \begin{cases} U_3(r, z_1), & 0 \leq r \leq r_1, \\ V_1, & r_1 \leq r \leq r_2, \end{cases}$$

$$\varepsilon_1 \frac{\partial U_1(r, z)}{\partial r} \Big|_{r=r_2} = \varepsilon_2 \frac{\partial U_4(r, z)}{\partial r} \Big|_{r=r_2}, \quad 0 \leq z \leq z_1,$$

$$\varepsilon_1 \frac{\partial U_2(r, z)}{\partial r} \Big|_{r=r_2} = \varepsilon_2 \frac{\partial U_5(r, z)}{\partial r} \Big|_{r=r_2}, \quad z_1 \leq z \leq z_2.$$

Дополнительное уравнение

$$U(0, L) = 0 \tag{21}$$

определяет вершину острия на оси системы  $z = L$ , так как поверхность виртуального катода совпадает с нулевой эквипотенциалью.

Таким образом, уравнения (20) и (21) приводят к системе линейных алгебраических уравнений относительно наборов неизвестных коэффициентов  $a_m, b_m, c_m, d_m$  и наклона  $A$  линейной плотности зарядов нити:

— первое из уравнений (20)

$$\left[ \sum_{k=1}^{\infty} a_k J_0(\alpha_k r_1) \frac{\text{sh}(\alpha_k z_2)}{\text{sh}(\alpha_k z_1) \text{sh}(\alpha_k(z_2 - z_1))} \frac{\alpha_k}{\alpha_k^2 + v_m^2} + \sum_{n=1}^{\infty} b_n \frac{I_0(\lambda_n r_1)}{I_0(\lambda_n r_2)} \frac{(-1)^n \lambda_n}{v_m^2 - \lambda_n^2} + \sum_{l=1}^{\infty} c_l \frac{I_0(\mu_l r_1)}{I_0(\mu_l r_2)} \frac{(-1)^l \mu_l}{v_m^2 - \mu_l^2} \right] \sin(v_m z_1) - d_m \frac{z_2}{2} + A \int_0^{z_1} F(r_1, z, r_2, z_1) \sin(v_m z) dz = \frac{V_2 z_1 - V_1 z_2}{v_m^2 z_1 (z_2 - z_1)} \sin(v_m z_1), \tag{22}$$

— второе из уравнений (20)

$$a_m J_1^2(\gamma_m) \frac{r_2^2}{2} - \sum_{n=1}^{\infty} d_n \sin(v_n z_1) \frac{r_1}{v_n^2 + \alpha_m^2} \times \left( \alpha_m J_1(\alpha_m r_1) + v_n J_0(\alpha_m r_1) \frac{I_1(v_n r_1)}{I_0(v_n r_1)} \right) - A \int_0^{r_1} r F(r, z_1, r_1, z_2) J_0(\alpha_m r) dr + \frac{(V_2 z_1 - V_1 z_2) r_1}{\alpha_m z_2} J_1(\alpha_m r_1), \tag{23}$$

— третье из уравнений (20)

$$\sum_{k=1}^{\infty} a_k J_1(\gamma_k) \frac{(-1)^m \alpha_k \lambda_m}{\alpha_k^2 + \lambda_m^2} + b_m \lambda_m \frac{z_1}{2} G(\lambda_m, r_2, r_3) + A \int_0^{z_1} F'_r(r_2, z, r_2, z_1) \sin(\lambda_m z) dz = 0, \tag{24}$$

— четвертое из уравнений (20)

$$\sum_{k=1}^{\infty} a_k J_1(\gamma_k) \frac{(-1)^m \alpha_k \mu_m}{\alpha_k^2 + \mu_m^2} + c_m \mu_m \frac{z_2 - z_1}{2} G(\mu_m, r_2, r_3) = 0, \tag{25}$$

— уравнение (21)

$$\sum_{n=1}^{\infty} d_n \frac{\sin(v_n L)}{I_0(v_n L)} + AF(0, L, r_1, z_2) r = -\frac{V_2 L}{z_2}, \quad m = \overline{1, \infty}.$$

26

Решая систему (22)–(26), определим значения неизвестных коэффициентов и получим функции для распределения потенциала во всей области системы.

### Результаты численных расчетов

При расчете использовались следующие параметры:  $r_1 = 0.25, r_2 = 0.5, r_3 = 1, z_1 = 0.5, z_2 = 1, \varepsilon_2/\varepsilon_1 = 10, V_1 = 1, V_2 = 1$ . Длина заряженной нити —  $z_0 = 0.25$ , длина полевого острия —  $L = 0.251$ .

Значения геометрических параметров и электростатического потенциала приведены в безразмерных величинах по отношению к соответствующим максимальным значениям.

На рис. 3 представлено изображение распределения потенциала во всей системе без учета влияния полевого острия.

На рис. 4 представлено изображение распределения потенциала во всей области триодной системы с учетом влияния полевого острия.

На рис. 5 представлена абсолютная разность распределения потенциала во всей области триодной системы при  $\varepsilon_2/\varepsilon_1 = 1$  и  $\varepsilon_2/\varepsilon_1 = 10$ .

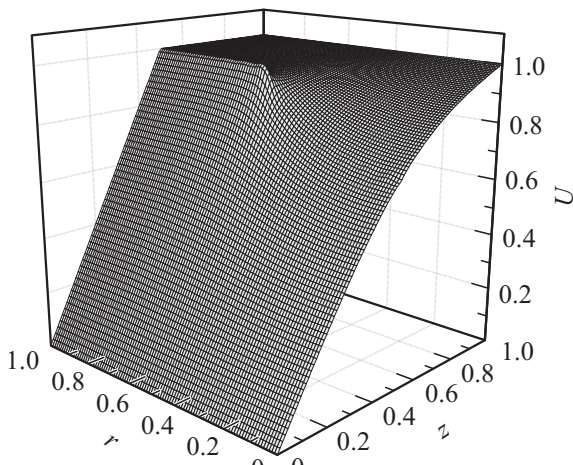


Рис. 3.

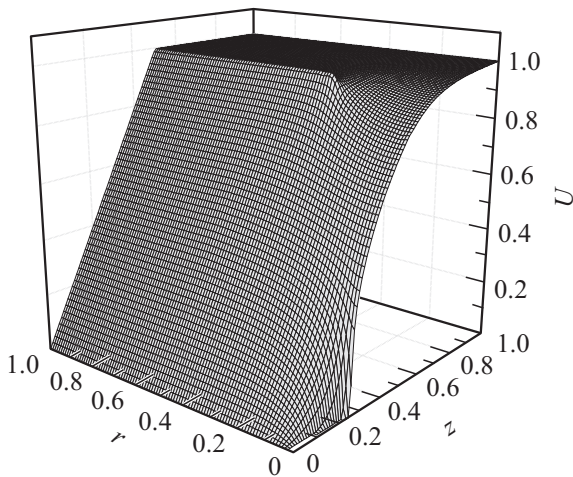


Рис. 4.

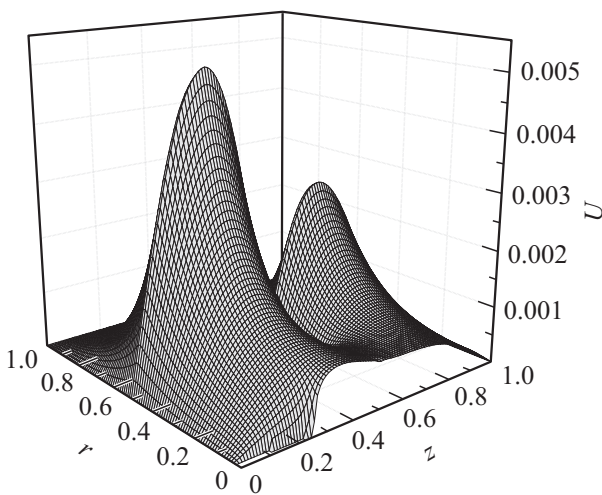


Рис. 5.

На рис. 7 представлены эквипотенциальные линии распределения потенциала во всей области триодной системы при  $\epsilon_2/\epsilon_1 = 10$ .

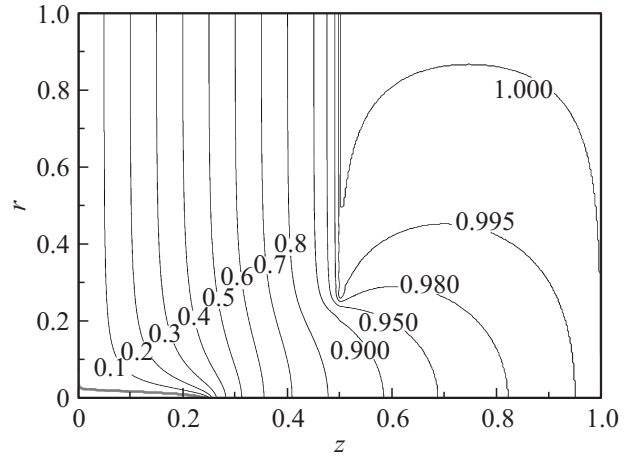


Рис. 6.

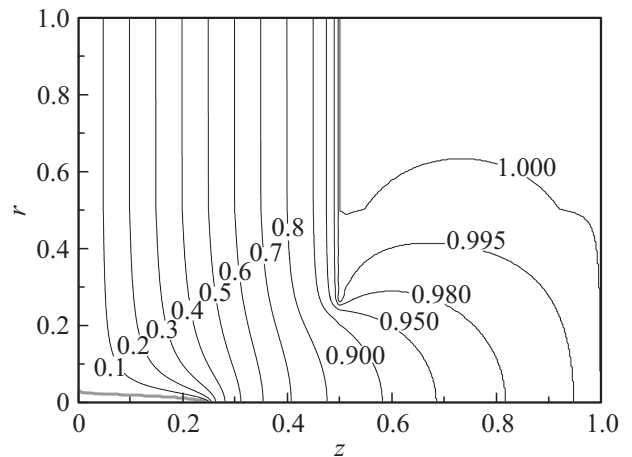


Рис. 7.

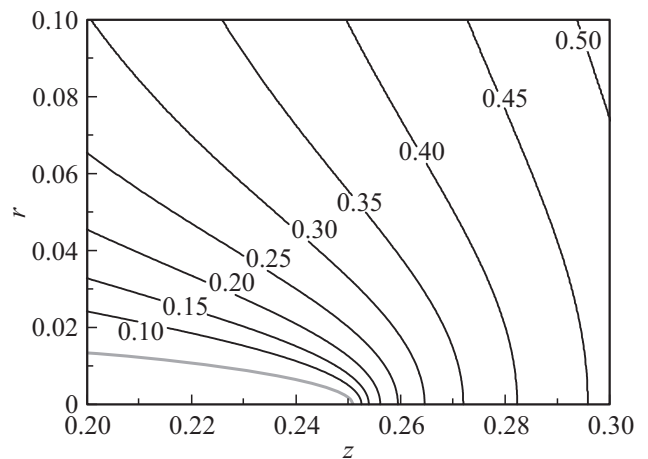


Рис. 8.

На рис. 6 представлены эквипотенциальные линии распределения потенциала во всей области триодной системы при  $\epsilon_2/\epsilon_1 = 1$ .

На рис. 8 представлены эквипотенциальные линии распределения потенциала вблизи вершины острия при  $\epsilon_2/\epsilon_1 = 1$ .

## Заключение

В настоящей работе рассмотрена задача моделирования осесимметричной триодной электронно-оптической системы, состоящей из полевого острия на плоской подложке, модулятора в виде круговой диафрагмы и плоского анода. Внутренняя область системы заполнена двумя диэлектриками с различными диэлектрическими проницаемостями. Один из диэлектриков может представлять собой диэлектрическую оболочку. Все геометрические размеры системы и значения потенциалов на электродах представляют собой параметры задачи.

Для решения задачи влияние полевого острия на распределение потенциала заменялось наличием заряженной нити конечной длины, расположенной на оси системы, с кусочно-постоянными значениями плотности зарядов. Распределение электростатического потенциала как решение граничной задачи (1) представлено в виде разложений Фурье-Бесселя (15)–(19). Определение неизвестных коэффициентов в разложениях и положение вершины острия на оси системы сведены к решению системы линейных алгебраических уравнений с постоянными коэффициентами (22)–(26). В соответствии с полученными формулами представлены графики распределения потенциала и формы полевого катода.

Представленную методику и формулы для определения потенциала во всей области подобных триодных систем можно использовать как для расчета электронных полевых пушек на основе одиночных острий, катодных узлов приборов микро- и нанoeлектроники, так и много-эмиттерных систем, например, катодов Спиндта.

## Список литературы

- [1] Егоров Н.В., Шешин Е.П. Автоэлектронная эмиссия. Принципы и приборы. Долгопрудный: Издат. дом Интеллект, 2011. 704 с.
- [2] Bargsten Johnson B., Schwoebel P.R., Holland C.E., Resnick P.J., Hertz K.L. et al. // Nucl. Instrum. Meth. Phys. Res. A. 2012. Vol. 663. P. 65–74.
- [3] Shiratori Y., Furuichi K., Tsuji Y., Sugime H., Noda S. // Nanotechnology. 2009. Vol. 20. P. 475 707–475 713.
- [4] Lee S.W., Lee C.H., Lee J.A., Lee S.S. // Nanotechnology. 2013. Vol. 24. P. 025 301–025 307.
- [5] Kang M.-G., Lezec H.J., Sharifi F. // Nanotechnology. 2013. Vol. 24. P. 065 201–065 205.
- [6] Беспалов В.А., Ильичев Э.А., Кулешов А.Е., Мигунов Д.М., Набиев Р.М., Петрухин Г.Н., Рычков Г.С., Щербачин Ю.В. // Письма в ЖТФ. 2013. Т. 39. Вып. 4. С. 46–52.
- [7] Виноградова Е.М., Егоров Н.В. // РЭ. 2002. Т. 47. № 3. С. 369–371.
- [8] Виноградова Е.М., Егоров Н.В., Мутул М.Г., Шэнь Чэ-Чоу. // ЖТФ. 2010. Т. 80. Вып. 5. С. 1–4.
- [9] Виноградова Е.М., Егоров Н.В. // ЖТФ. 2011. Т. 81. Вып. 9. С. 1–5.
- [10] Виноградова Е.М., Кримская К.А. // Вестн. СПб. ун-та. Сер. 10. Прикладная математика, информатика, процессы управления. 2009. Вып. 1. С. 3–9.
- [11] Миролюбов Н.Н. Методы расчета электростатических полей. М.: Высшая школа, 1963. 209 с.
- [12] Виноградова Е.М., Долгов С.Л., Егоров Н.В. // Вестн. СПб. ун-та. Сер. 10. Прикладная математика, информатика, процессы управления. 2007. Вып. 1. С. 29–37.